生物工程

米曲霉果糖基转移酶催化合成蔗糖-6-乙酸酯

毛多斌, 刘国明, 韩亚伟, 杨雪鹏, 陈利平(郑州轻工业学院 食品与生物工程学院,河南 郑州 450002)

摘要: 对来自于米曲霉 $(A \cdot p \cdot e p \cdot il \cdot l \cdot s \cdot o p \cdot z \cdot e)$ 的果糖基转移酶催化蔗糖 (s)与葡萄糖-6乙酸酯 $(g \cdot 6 \cdot a)$ 生成蔗糖-6乙酸酯 $(s \cdot 6 \cdot a)$ 的反应进行了研究。考察了底物质量比 $m(g \cdot 6 \cdot a) \cdot m(s)$ 、反应温度、反应时间、pH、酶的质量浓度对反应的影响。单因素实验结果表明,最优的催化反应条件为: 反应温度 $50 \cdot \mathbb{C}$ 、pH = $6 \cdot 2 \cdot m(g \cdot 6 \cdot a) \cdot m(s) = 1 \cdot 3$ 反应时间 $48 \cdot l$ 、酶的质量浓度为 $4 \cdot 0 \cdot g/L$ 。在该条件下, $g \cdot 6 \cdot a$ 的摩尔转化率可达 $26 \cdot 69\%$ 。

关键词: 米曲霉; 蔗糖-6-乙酸酯; 果糖基转移酶; 生物工程

中图分类号: TQ 033 文献标识码: A 文章编号: 1003-5214(2010) 03-0234-04

Synthesis of Sucrose-6-acetate Catalyzed by Fructosyltransferase from A pergillus oryzae

MAO Duo-bin, LIU Guo-ming HAN Ya-wei, YANG Xue-peng CHEN Liping (Zhengzhou University of Light Industry, School of Food and Biological Engineering, Zhengzhou 450002 Henan, China)

Abstract The synthesis reaction of sucrose-6-acetate(s-6-a) with sucrose(s) and glucose-6-acetate(g-6-a) catalyzed by fructosyltransferase from *A spergillus oryzae* was investigated The effects of mass ratio of reactants m (g-6-a):m (s), reaction temperature, reaction tine, pH, mass concentration of enzyme on the reaction were examined The one-factor experimental results showed that the optimum yield was obtained at 50 °C, pH = 6.2 m (g-6-a):m (s) = 1:3, reaction tine 48 h and mass concentration of enzyme 4.0 g/L. On this condition the molar convert ratio of g-6-a was 26.69%.

Key w ord s A pergillus oryzae, sucrose-6-acetate, fructosyltransferase, biological engineering **Foundation item:** Supported by NationalN atural Science Foundation of China (Project No. 20676127)

三氯蔗糖是迄今为止人类开发的一种最完美的强力甜味剂,蔗糖-6-乙酸酯(s-6-a)是制备三氯蔗糖的重要中间体,s-6-a的合成技术是制备三氯蔗糖的美键技术之一。目前,s-6-a的合成方法包括化学方法和酶法两大类。化学法主要有原乙酸三乙酯法「1,二甲氧基乙烯法「2,二丁基氧化锡催化法「3等。但化学法对反应条件和分离设备提出了非常高的要求。因此,在化学合成的基础上,又发展了酶法合成。酶法合成的最大优点在于其高效专一性,是化学合成法不可比拟的,它具有广阔的应用前景。早在1958年,Duff等[4-5]就发现枯草杆菌(Bacillus Sub tilis)发酵葡萄糖可以得到葡萄糖-6乙酸酯(g-6-a),之后在果糖基转移酶的作用下从蔗糖(s)中转移果糖基形成 s-6-a 但产率偏低。后来从枯草杆菌

Subtilis NCIB 11871 $^{[6]}$ 中分离得到一种特异性果糖转移酶可以专一地将 g-6-a转化为 s-6-a 产率高达 48%。

一直以来,国内外研究人员从不同菌株中成功地分离出了果糖基转移酶,如:节杆菌、枯草杆菌、黑曲霉、出芽短梗霉等,但从米曲霉中分离出果糖基转移酶则不多见。作者以实验室筛选出来的米曲霉(*A.p. oryzae*)果糖基转移酶为生物催化剂,对 s与 g-6-a为底物反应生成 s-6-a的条件进行了考察。

1 实验部分

1.1 试剂与仪器

米曲霉 $(Asp\ oryzae)$, 本课题组自制; 果糖基转移酶催化蔗糖 (质量分数 > 99.9%), AR, 购于

收稿日期: 2009- 07- 13 定用日期: 2009- 12- 14 基金项目: 国家自然科学基金资助项目(20676127)

Signa公司; s-6-a标样 (质量分数 > 96%), 购自加拿大 TRC公司; g-6-a, 购于郑州奥利实业公司; 葡萄糖、果糖标样 (质量分数 > 99.9%), 购于 Signa公司; 蔗果三糖标样 (质量分数 > 96%), 购于 Signa公司; 柠檬酸 - 磷酸缓冲液, 本课题组自制。

培英 HZQ - F160全温振荡培养箱 (上海天呈科技有限公司); JOAN BR4i multifunction centrifuge离心机 (Themo Election Co); JY92-2D型超声破碎仪 (宁波新芝生物科技股份有限公司); MSC300超滤杯 (上海摩速科学器材有限公司); Coolsafe 55-4型冷冻干燥机 (丹麦 Scan laf公司)。

1.2 方法

1.2.1 菌体培养

将米曲霉 $(Asp\ onyzae)$ 菌体接种到查氏培养基中,28 \mathbb{C} 生化培养箱里培养 24 h。挑取长势良好的单菌落,接种到马铃薯液体培养基 (马铃薯培养基: 200 g马铃薯煮沸 30 m in 的滤出液,定容至 1 L,加入 8 g葡萄糖,自然 pH; 121.5 \mathbb{C} 、0.1 MPa灭菌 20 m in)中,170 r/m in,29 \mathbb{C} 恒温振荡培养 48 h。

1.2.2 粗酶的制备

收集菌悬液,冰浴 30 min, 于 $4 \, ^{\circ}$ C, $10 \, 000 \, \text{r/min}$ 离心 $20 \, \text{min}$, 取上清液和菌丝体。将菌丝体置于柠檬酸 – 磷酸缓冲液中,进行后续的超声波破碎。经超声波破碎后,于 $4 \, ^{\circ}$ C, $10 \, 000 \, \text{r/min}$ 离心 $20 \, \text{min}$, 收集上清液,即为胞内粗酶液。将粗酶液用截留分子质量为 $30 \, \text{kD}$ 的超滤膜,在氮气保护、冰浴条件下于超滤杯中进行超滤。滤后,酶液 $-40 \, ^{\circ}$ C预冻 $12 \, \text{h}$ 后,经冷冻干燥机处理制得干粉状粗酶。 $4 \, ^{\circ}$ C保存备用。

1.2.3 粗酶酶活的定义

在反应温度 40 °C, 柠檬酸 – 磷酸缓冲液 pH = 6. 6条件下, 每小时转化 $1 \mu molg$ 6-a所需的粗酶质量为一个活力单位。

1.2.4 反应体系条件

将不同质量比的反应物 s和 g·6-a溶于 2 mL柠檬酸 – 磷酸缓冲液,加入粗酶并在不同温度下,恒温水浴摇床中反应。反应液 100 ℃煮沸 10 m in灭活酶终止反应。

1.2.5 检测与计算方法

检测仪器: Waters 1525 Binary HPLC pump, Waters 2424 ELS Detector,

分析 条件: 色谱柱 为 W aters Carbohydrate 柱 $(4.6 \,\mathrm{mm} \times 250 \,\mathrm{mm})$, 流动相为 $V(\mathrm{Zlf}):V(\mathrm{X})=75:25$, 流速 $1.0 \,\mathrm{mL/m}$ in, 进样量 $15 \,\mathrm{LL}$, 柱温 $30 \,\mathrm{C}$, 分析时间 $40 \,\mathrm{m}$ in, 对照品为 s-6-a标准品。

计算方法: 从反应样品上样后的 HPLC 积分图 谱中, 根据不同组分峰的积分面积, 用归一法计算出 各个组分的质量分数, 设校正因子为 1。根据反应物 g-6-a 产物 s-6-a的质量分数可计算得到理论和

实际所生成 s-6-a的物质的量, 最终算出反应中 g-6-a的摩尔转化率。公式如下:

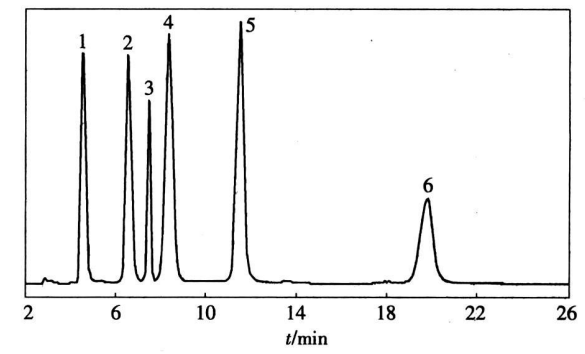
g-6-a 的 摩 尔 转 化 率 $\mathcal{P}_{0} = \frac{n(s-6-a)$ 实验值 = w(s-6-a) M(s-6-a) w(s-6-a) w(s-6-a)

_________ × 1 w (g-6-a) M (g-6-a) + w (s-6-a) M (s-6-a) × 1 其中, n: 物质的量; w: 质量分数; M: 摩尔质量。

2 结果与讨论

2.1 反应目标产物的鉴定

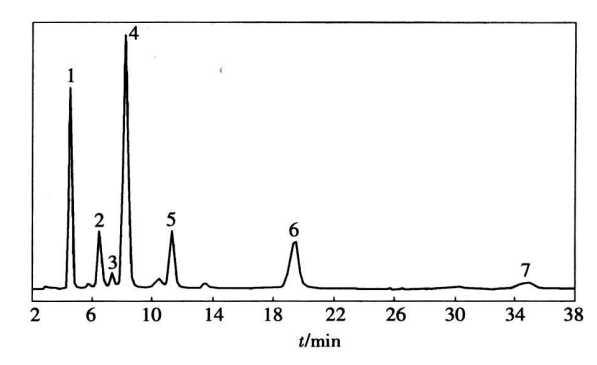
将蔗糖-6乙酸酯、葡萄糖-6乙酸酯、葡萄糖、果糖、蔗糖、蔗果三糖标准品配制成一定浓度的标准混合溶液(溶剂为双蒸水),进行高效液相色谱分析得到混合标样的 HPLC标准图谱(图 1)。将反应结束后的样品经过灭酶活、离心等前处理后,用双蒸水稀释 100倍后进行高效液相色谱分析得到反应样品的HPLC图谱(图 2)。



1—葡萄糖-6-乙酸酯(4.562 min);2—蔗糖-6-乙酸酯(6.537 min); 3—果糖(7.443 min);4—葡萄糖(8.328 min);5—蔗糖(11.493 min);6—蔗果三糖(19.806 min)

图 1 混合标样的 HPLC 标准图谱

Fig. 1 HPLC of the mixed standard sample



1—葡萄糖-6-乙酸酯(4.562 min);2—蔗糖-6-乙酸酯(6.537 min); 3—果糖(7.443 min);4—葡萄糖(8.328 min);5—蔗糖(11.493 min);6—蔗果三糖(19.806 min);7—未知产物(34.633 min)

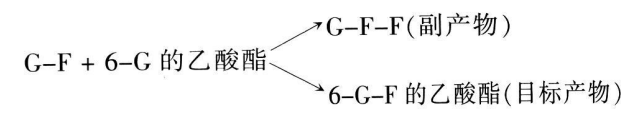
图 2 反应后样品 HPLC 图谱

Fig. 2 HPLC of the reacted sample

由图 1可知,色谱峰 1葡萄糖-6-乙酸酯标样的保留时间为 4.562 m in,峰 2蔗糖-6-乙酸酯标样的保留时间为 6.537 m in,峰 3果糖标样的保留时间为

© 1994-2011 China Academic Journal Electronic Publishing House. All rights reserved. http://www.cnki.net

7. 443 m in, 峰 4 葡萄糖标样的保留时间为 8.328 m in, 峰 5 蔗糖标样的保留时间为 11.493 m in, 峰 6 蔗果三糖标样的保留时间为 19.806 m in。在相同色谱条件下,图 2中色谱峰 1~6的保留时间分别与图 1中标样色谱峰 1~6一致,证明反应后样品中存在葡萄糖-6-乙酸酯、蔗糖-6-乙酸酯、果糖、葡萄糖、蔗糖、蔗果三糖以及一种未知产物。其中,葡萄糖-6-乙酸酯和蔗糖为未反应完的反应物,果糖和葡萄糖为蔗糖水解产物,蔗糖-6-乙酸酯为目标产物,蔗果三糖和未知产物为竞争产物。其反应过程可表达为:



2.2 反应时间对反应的影响

在缓冲液 $_{\rm pH}$ = 6.6 $_{\rm m}$ ($_{\rm g}$ 6-a) $_{\rm in}$ ($_{\rm s}$) = 1:3 酶质量浓度 1.5 $_{\rm g/L}$ 40 $_{\rm c}$ 0 %件下, 考察不同反应时间对反应的影响, 以 $_{\rm g}$ 6-a的摩尔转化率为指标, 结果见图 3. 当反应时间在 12~48 h时, 反应物 $_{\rm g}$ -6-a的摩尔转化率逐渐上升。当反应时间超过 48 h后, $_{\rm g}$ -6-a的摩尔转化率在极小范围内上下波动, 并在反应 60 h时达到最大值, 但考虑到生产效率等因素,最适反应时间取 48 h。

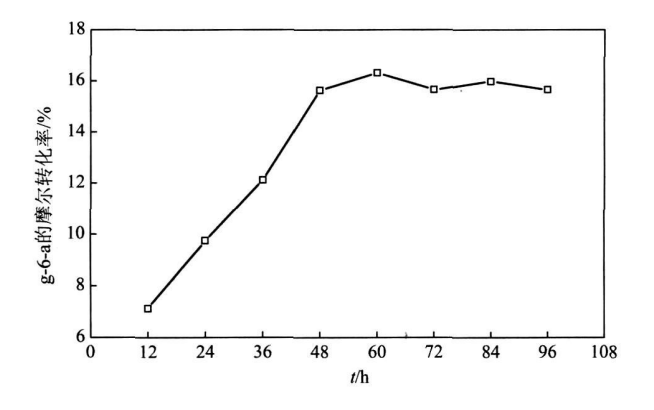


图 3 反应时间对反应的影响

Fig 3 Effect of reaction time on the reaction

2.3 pH 对反应的影响

在反应时间 48 h m (g-6-a) : m (s) = 1:3 酶质量浓度 <math>1.5 g/L 40 ° C 条件下,考察了不同缓冲液 pH 对反应的影响,结果见图 4 ° 随着缓冲液 pH 的增大,g-6-a的摩尔转化率总体波动幅度不大。在 pH = 6.2 pH , g-6-a的摩尔转化率达最高值 13.14% 。

2.4 反应物质量比对反应的影响

在缓冲液 pH = 6.6、酶质量浓度 1.5 g/L、40 °C、反应 48 h条件下,考察了不同反应物质量比对反应的影响,结果见图 5.4 当反应物质量比逐渐增大时(即从,5.4 pm)。5.4 pm 6.6 a 的摩

尔转化率显著降低,m(g-6-a):m(s) = 1:3时转化率最高达 14.50%。此结果与郑建仙 $^{[7]}$ 等人的研究结果相近。

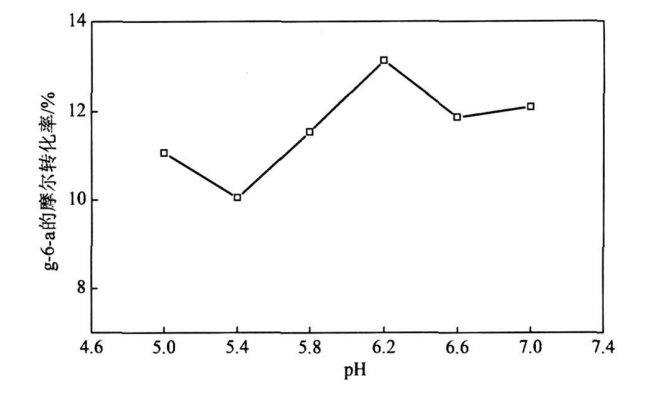


图 4 pH 对反应的影响 Fig. 4 Effect of pH on the reaction

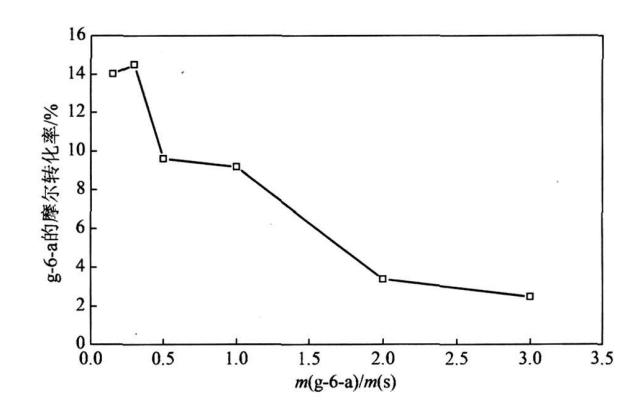


图 5 反应物质量比对反应的影响

Fig. 5 Effect of the mass ratio of reactants on the reaction

2.5 酶质量浓度对反应的影响

在缓冲液 $_{\rm P}H = 6.6 \, m \, ({\rm g}\text{-}6\text{-}a): m \, ({\rm s}) = 1:3 \, 反应 温度 40 \, \mathbb{C}$ 、反应时间 48 h的条件下,考察了不同酶 质量浓度对反应的影响,结果见图 6。

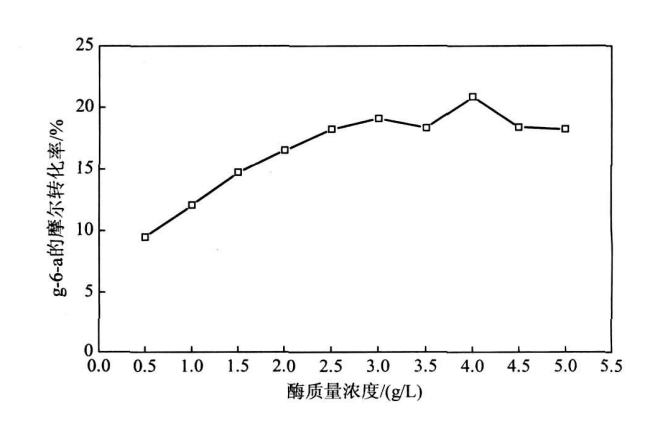


图 6 酶质量浓度对反应的影响

Fig 6 Effect of mass concentration of enzyme on the reaction

随着酶质量浓度的提高,在酶质量浓度为 0.5 ublishing g/Libi, g/Gra的摩尔转化率不断提高, 当酶质量

浓度为 $3\sim 5$ g/L时, g-6-a的摩尔转化率则是先降后升再降并最终趋于平缓。当酶质量浓度为 4.0 g/L时, g-6-a的摩尔转化率达最高值 20.89%。

2.6 反应温度对反应的影响

在缓冲液 $_{\rm PH}$ = 6.2 $_{\rm m}$ ($_{\rm g}$ 6-a) $_{\rm m}$ ($_{\rm s}$) = 1:3 反应时间 48 $_{\rm h}$ 酶质量浓度为 2.5 $_{\rm g}$ /L的条件下,考察了不同反应温度对反应的影响,结果见图 7。当反应温度低于 50 $^{\circ}$ C时,随着反应温度的升高, $_{\rm g}$ -6-a的摩尔转化率呈现波浪式的上升趋势——先升后降,然后显著上升; 当反应温度高于 50 $^{\circ}$ C后, $_{\rm g}$ -6-a的摩尔转化率显著降低至 10% 左右且趋于平缓。可能是过高的反应温度使得大部分的酶变性失活所致。此酶在 45~ 50 $^{\circ}$ C内活性较好,最适反应温度取 50 $^{\circ}$ C

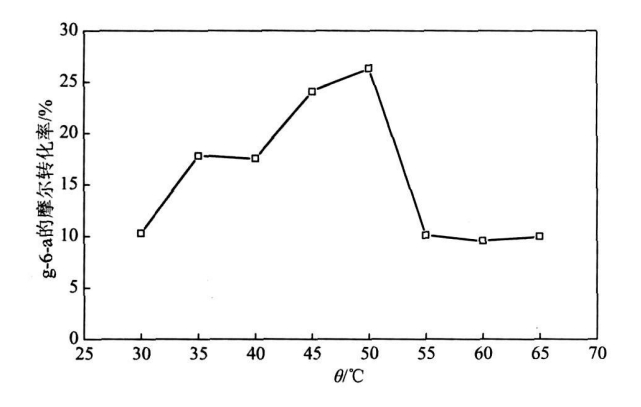


图 7 反应温度对反应的影响

Fig. 7 Effect of reaction temperature on the reaction

3 结论

从各个影响因素来看, 反应时间、酶质量浓度、物料质量比和反应温度四因素对反应的影响较为明显, 而缓冲液 $_{\rm I}$ H 对反应的影响较小, 属于非显著因素。实验结果表明, 反应的最优条件为反应时间 48 h, 酶质量浓度 4.0 g/L、缓冲液 $_{\rm I}$ H = 6.2 $_{\rm I}$ M ($_{\rm I}$ G- $_{\rm I}$ G- $_{\rm I}$ A) $_{\rm I}$ M ($_{\rm I}$ S) = 1:3 反应温度 50 °C, 在此条件下 $_{\rm I}$ G- $_{\rm I}$ A的摩尔转化率可达 26.69%。

实验过程中所使用的为米曲霉 (*A.p. oryzae*)果糖基转移酶粗酶。虽然众多文献^[8-13]报道纯酶的活性要比粗酶高,但对于工业化生产来说粗酶更具优势^[14],因为粗酶更易于使用且更为经济,而获得纯酶需要进行一系列纯化工作,如:超滤、离子交换柱层析等,经济成本大幅提高。 经初步纯化后,酶活并未明显提高,因此从实验实际情况与经济等方面综合考虑后,此实验过程使用粗酶。

反应过程中, 葡萄糖 -6-乙酸酯在果糖基转移酶的作用下, 以 1⁻² 2糖苷键的形式连接上果糖残基生成蔗糖-6-乙酸酯。利用此酶高效的专一性催化合成蔗糖-6-乙酸酯是化学合成方法不可比拟的, 同时也为蔗糖酯类的合成提供了思路和途径, 具有广阔的应用前景。

参考文献:

- [1] Philip J.S. Sucrose alky 14, 6 orthoacylates [P]. U.S. 4889928, 1989
 03- 13
- [2] Khan R A, Sm ith K, Pelter A. Process for the preparation of sucrose-6 esters Pl. U.S. 5440026, 1995-08-08.
- [3] Navia Juan L. Process for synthesizing sucrose derivatives by regioselective reaction [P]. US: 4950746, 1990-08-21.
- [4] DuffR B, Farmer V C. Identification of 6-O-acety l-O-glu copyranose in Bacillus megaterium cultures synthesis of 6-O-acety l-D-glucopyranose and 6-O-acety l-D-galacotpyranose [J]. Biothem, 1958-70-515-520
- [5] DuffR B Webley D M. Metabolism of 60-acety FD-glucopyranose and other monacety Fsugars by strains of Bacillus megaterium and other soil organism [J]. Biochem, 1958, 70: 520-528.
- [6] Rathbone Hacking Cheetham, et al. Novel fructosyltransferase, process for the preparation of fructsyldisaccharides, and a novel habsucrose [P]. EP. 0130054B1, 1990-03-07.
- [7] 郑建仙, 高宪枫, 袁尔东, 等. 双酶 化学联合法制备三氯蔗糖的探索[J]. 冷饮与速冻食品工业, 2002 8(3): 7-9, 16
- [8] Norio Shim i Purification and characterization of 6^G fuctory transferase from the roots of asparagus (Asparagus of icinalis L.) [J]. Carbohydr Res. 1981, 96 281 - 292
- [9] Norio Shiom i Purification and characterization of I^F-fluctosy bransferase from the roots of asparagus (Asparagus officina lis L.) [J]. Carbohydr Res. 1982, 99, 157 169.
- [10] Norio Shiom j. H. iroki K. ido Shuhachi K. iriyama. Purification and properties of sucrose. sucrose 1^F-β-fructofuranosidase in onion seeds [J]. Phytochemistry, 1985, 24(4): 695–698.
- [11] Lamia L'Hocine, Wang Zhang Jiang Bo et al. Purification and partial characterization of fructosyltransferase and invertase from Aspergillus niger AS 0023 [J]. J Biotechnol. 2000, 81: 73-84.
- [12] Sacha A F T van Hijum, Kees Bonting Marc J E C van der Maarel et al. Purification of a novel fructosyltransferase from Lactobacillus reuteri strain 121 and characterization of the levan produced[J]. FEMSM icrobiolLett 2001, 205 323 - 328
- [13] Iraj Ghazi, Lucia Fernandez Arroja, Humberto Garcia-A rellano, et al. Purification and kinetic characterization of a fructosyltransferase from Aspergillus aculeatus [J]. J Biotechnol. 2007, 128 204 – 211
- [14] Jun Yoshikawa, Seigo Amachi, Hirofum i Shinoyama et a l Production of fructooligosaccharides by crude enzyme preparations of β-fructofuranosidase from Aureobasidium pullulans [J]. Biotechnol Lett 2008, 30: 535-539.